

# رفتار جذبی $\text{CO}_2$ و $\text{CH}_4$ در غشاهاي پلimeri شيشه‌اي و توصيف تحليلى مدل عدم تحرك جزئي

Sorption Behavior of  $\text{CO}_2$  and  $\text{CH}_4$  of Glassy Polymeric Membranes  
and Analytical Discussion of Partial Immobilization Model

مجيد مهدويان<sup>\*</sup>، سيد على اصغر قريشي<sup>۲</sup>

۱- دانشگاه آزاد اسلامی، واحد قوچان، گروه مهندسی شیمی

۲- دانشگاه مازندران، دانشکده فني و مهندسي، گروه مهندسی شیمی

دريافت: ۸۵/۰۵/۲۶، پذيرش: ۸۵/۰۴/۲۶

## چكیده

از ميان مدلهاي انتقال مختلف، برای جداسازی غشاهاي گازها بهترین توصیف به کمک مدل انحلال- نفوذ انجام می‌گيرد. پارامترهای اصلی در این مدل انحلال‌پذیری و نفوذ ماده تراوش‌کننده از میان غشا است. پیش‌بینی میزان تراوش و نیز گزینش‌پذیری غشا در تراوش چندجزئی گازها و همچنین ارزیابی اثر برهمکنش‌های ترمودینامیکی و سینتیکی روی شارو انتقال اجزا مستلزم توصیف درست پدیده‌های جذب و نفوذ در ماتریس پلیمری است. مطالعات انجام شده توسط محققان مختلف در زمینه جداسازی گازها بیانگر این مطلب است که برهمکنش ترمودینامیکی (آثار جذب) در پلیمرهای شیشه‌ای نقش اصلی را در میزان نفوذ، تراوش و گزینش‌پذیری غشا، به ویژه در سامانه‌های چندجزئی ایفا می‌کند. در انتقال گازها از میان پلیمرهای شیشه‌ای مدل دو جذبی هنری - لانگمیر برای توصیف رفتار جذب تعادلی پلیمر - گاز به طور مکرر استفاده می‌شود و بر پایه این مدل جذب، رفتار نفوذی با مدل عدم تحرك جذبی توصیف می‌گردد. در این مطالعه، با استفاده از ازداده‌های تجربی موجود در منابع علمی برای مقادیر جذب  $\text{CO}_2$  و  $\text{CH}_4$  در پلیمرهای مختلف، تفاوت ساز و کار جذب آنها در غشاهاي پلیمری با تفکیک حالتهای جذب و معروفی پارامتر  $P_0/P$ ، فشاری که در آن سهم هر دو حالت از جذب در پلیمر با هم برابر می‌شود، تحلیل شده است و سهم مولکولهای جذب شده در حالت لانگمیر در تراوش کل و نحوه تغییرات آن با فشار برای تراوش  $\text{CO}_2$  و  $\text{CH}_4$  در پلیمرهای مختلف ارزیابی شده است. افزون بر این، به منظور در نظر گرفتن میزان اهمیت هر یک از حالتها جذب در تراوش کل به طور مجزا با اعمال فرضیات مناسب برای هر یک از حالتها، میزان تراوش تصحیح شده است.

## واژه‌های کلیدی

جداسازی غشاهاي گاز، پلیمرهای شیشه‌ای،  
مدل دوجذبی هنری-لانگمیر،  
مدل عدم تحرك جذبی

## مقدمه

مولکول تنها در حالتی می‌تواند نفوذ کند که در غشا حل شود. میزان چنین انحلال‌پذیری با میزان تمايل ترکيبی بین غشا (پلیمر) و اجزا مشخص می‌شود. سپس، به علت وجود نیروی رانش بین دو طرف غشا، یک جزء از یک طرف به طرف دیگر آن به وسیله نفوذ منتقل می‌شود

انتقال در غشاهاي متخلخل از راه منافذ انجام می‌شود و پارامترهای ساختاري مانند اندازه و توزيع اندازه منافذ، تخلخل و... مهم‌اند [۱]. به طور کلی، گزینش‌پذیری چنین غشاهايی بر پایه اختلاف بین اندازه ذرات و منافذ است. از طرف دیگر، در غشاهاي متراكم (نامتخلخل) یک

## Key Words

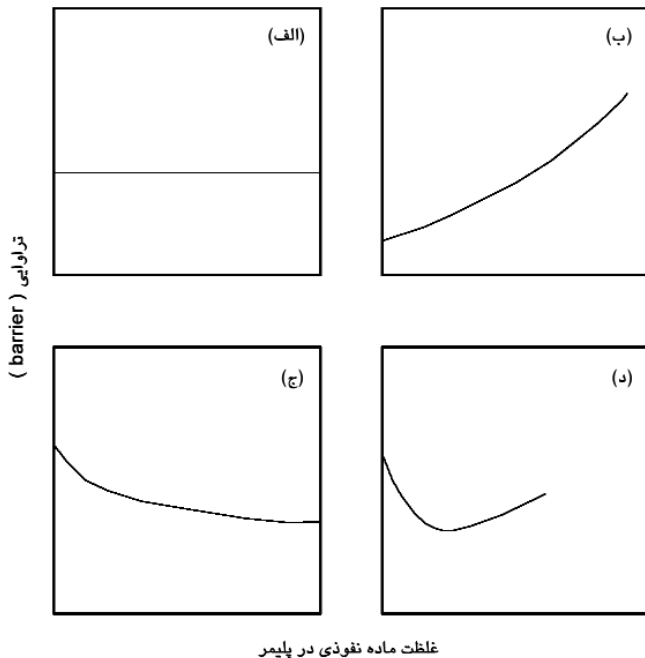
gas membrane separation,  
glassy polymers,  
Henry-Langmuir dual sorption model,  
partial immobilization model

هر دوی مراحل جذب – دفع و نفوذ وابسته به خواص مواد غشا و گازهاست و به شکل مجزا با مدل‌های جذب مختلف مطالعه می‌شوند. در حالی که مرحله نفوذ به کمک قوانین نفوذ فیک، ترمودینامیک برگشت‌ناپذیر یا روابط استفان – ماسکول مدل می‌شود. موفقیت یا عدم موفقیت مدل انتقال در مرحله اول بستگی به اعتبار و صحبت فرضیات مورد استفاده برای توصیف فرایند انتقال چندجزئی از میان غشا دارد. مدلی قادر به توصیف صحیح پدیده انتقال از غشاهاست که بتواند رفتار جذب و نفوذ را به نحو مناسب بیان کند. قانون فیک ساده‌ترین توصیف برای نفوذ گاز از ساختار نامتخلخل است:

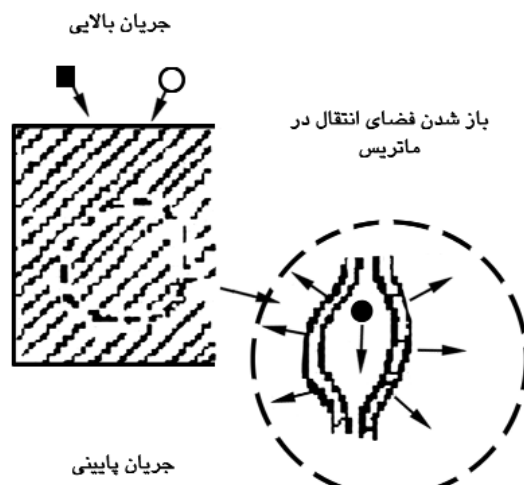
$$J = -D \frac{dC}{dx} \quad (1)$$

که در آن  $J$  شار نفوذ‌کننده از غشا،  $D$  ضریب نفوذ و  $\frac{dC}{dx}$  نیروی رانش‌گردایان غلظت در امتداد غشاست.

برای نفوذ یک جزء خالص از راه غشا معادله خطی یاد شده برای بیان انتقال به کار برد می‌شود. با این حال، وقتی دو جزء یا بیشتر به طور هم‌زمان نفوذ می‌کنند، نمی‌توان از چنین معادله‌ای استفاده کرد، زیرا پدیده



شکل ۲ اثر غلظت تراویش‌کننده بر تراویی: (الف) ایده‌آل، (ب) بخارهای آلی در پلیمرهای کشسان، (ج) اجزا با حلالیت زیاد در پلیمرهای شیشه‌ای و (د) حالت ترکیبی بوج.



شکل ۱ جداسازی با غشاها نامتخلخل.

(شکل ۱). گزینش‌پذیری در چنین غشاها بی معمولاً به علت اختلاف انحلال‌پذیری و تفاوت در نفوذ اجزا مشخص می‌شود. در این حالت، پارامترهای مهم انتقال اطلاعاتی درباره برهمنش ترمودینامیکی یا میل ترکیبی بین غشا (پلیمر) و ماده نفوذ‌کننده می‌دهند.

در دو دهه اخیر، پیشرفت قابل ملاحظه‌ای در زمینه توسعه پلیمرهای کارآمد در جداسازی گازها انجام گرفته است، به ویژه پلیمرهای شیشه‌ای مانند پلی‌سولفون، پلی‌آمید، پلی‌کربنات و ... که به شکل گستردگی در جداسازی گازها به کار گرفته شده‌اند [۲]. در کل، پلیمرهای شیشه‌ای برای جداسازی گازها مناسب‌تر از پلیمرهای کشسان‌اند. زیرا، جداسازی براساس شکل و اندازه ذرات عاملهای کلیدی در گزینش‌پذیری زیاداند [۳].

مدلهای انتقال مختلفی برای جداسازی با غشا مانند ترمودینامیک برگشت‌ناپذیر، مدل‌های اصطکاکی، انحلال – نفوذ، جریان نفوذ گرانزو، منافذ ریز و جریان جذب ترجیحی در منافذ مویین به کار می‌روند. در حالی که در جداسازی گازها بهترین توصیف به وسیله مدل انتقال – نفوذ انجام می‌گیرد. همچنین، مدل‌های ترمودینامیک برگشت‌ناپذیر و مدل جذب ترجیحی در منافذ مویین در مواردی به منظور توصیف انتقال گاز از راه غشاها استفاده شده است [۵]. مدل انتقال – نفوذ انتقال گازها از راه غشا را در سه مرحله شرح می‌دهد [۶-۸]:

- ۱- جذب گاز در غشا
- ۲- نفوذ در غشا طبق گرادیان غلظت اعمالی
- ۳- دفع گاز

فاکتور  $\frac{dC}{dp}$  در معادله ۶ از منحنی هم دمای جذب محاسبه می‌شود. به طور کلی، رفتارهای جذب برای هر سیستم گاز یا بخار-پلیمر را می‌توان در ۴ منحنی هم دمای شکل ۳ خلاصه کرد. منحنی اول (الف) حالت ساده و ایده‌آل سیستم گاز-پلیمر بدون برهمکنش خاص را نشان می‌دهد که این تغییرات خطی با قانون هنری بیان می‌شود. آثار ایده‌آل بودن فاز گاز کاهی با جایگزینی عبارت فشار گاز توسط فوگاستیه‌های مرتبط تصحیح شده است [۹].

حالت دوم (ب) مربوط به تورم همگن پلیمرهای کشسان با مواد نفوذی سازگار است که در حل شدن مواد نفوذی قطبی پیچیده و دارای پیوند هیدروژنی در پلیمرهای کشسان ناقطبی مشاهده شده است. به طور کلی، این رفتار جایی که مولکولهای نفوذی با هم خوشای شوند، به دلیل برهمکنش قوی با یکدیگر اتفاق می‌افتد. حالت سوم (ج) هم دمای جذب مدل دوجذبی است و در جذب گاز در پلیمرهای شبشهای مشاهده می‌شود. در حالت آخر (د) منحنی یک نقطه اتحاد (خمش) دارد و این رفتار در مورد مواد نفوذی با انحلال‌پذیری بسیار زیاد در پلیمرهای شبشهایی دیده می‌شود [۸].

مدل سازیهای مختلف انجام شده در پژوهش‌های گذشته مؤلفان در زمینه جداسازی گازها [۱۰-۱۳] با درنظر گرفتن آثار برهمکنش‌های

جفت شدن در شارها و نیروها اتفاق می‌افتد. به عبارت دیگر، اجزا روی شار یکدیگر اثر می‌گذارند. به عنوان مثال، در این حالت برای یک سیستم دو جزئی، معادلات شار به شکل زیراند:

$$J_1 = -L_{11} \frac{dC_1}{dX} - L_{12} \frac{dC_2}{dX} \quad (2)$$

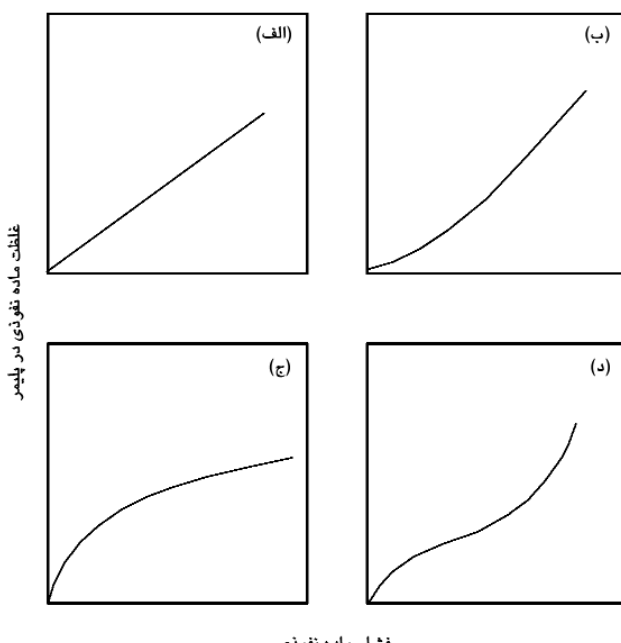
$$J_2 = -L_{21} \frac{dC_1}{dX} - L_{22} \frac{dC_2}{dX} \quad (3)$$

برحسب اینکه ضرایب فرعی ( $L_{ij}$ ) مثبت یا منفی باشند، شار یک جزء، شار جزء دیگر را افزایش یا کاهش می‌دهد. ضرایب مثبت معمولاً باعث کاهش گزینش‌پذیری می‌گردد. علاوه بر نیروی رانش خود غشا نیز یک عامل اساسی در مشخص کردن گزینش‌پذیری و شار است.

اثر فشار و بنابراین غلظت گاز در غشا مسئله اصلی در مدل‌سازی مؤثر فرایند انتقال گاز است. آثار فشار گاز روی میزان تراوش به شکل نمونه در شکل ۲ نشان داده شده است. حالت اول (الف) برای حالت ایده‌آل است که فرض می‌شود انحلال‌پذیری و نفوذ مستقل از فشار گاز هستند. این نوع رفتار برای حالت تراوش گازهای ابر بحرانی در پلیمرهای بی‌شکل مشاهده شده است. حالت دوم (ب) ویژگی اثر نرم شدن و شکل‌پذیرشدن پلیمر است و هنگام تراوش بخارهای آلی در پلیمرهای کشسان مشاهده می‌شود.

حالت سوم (ج) برای حالت گازهای با انحلال‌پذیری زیاد در پلیمرهای شبشهای است. حالت آخر (د) ترکیبی از حالات ب و ج بوده و در حالت تراوایی بخارهای آلی یا گازهای نرم‌کننده مثل  $\text{CO}_2$  در پلیمرهای شبشهای دیده می‌شود. همان‌طور که گفته شد، پدیده تراوایی ترکیبی از انحلال‌پذیری و نفوذ است. ضریب نفوذ سینتیک پدیده انتقال را شرح می‌دهد، در حالی که انحلال‌پذیری گاز،تابع تعادل ترمودینامیکی بین ماده نفوذی و ماده پلیمری است که معیاری از مقدار ماده نفوذی جذب شده به کمک غشا در شرایط تعادلی است. بنابراین، فرایند تراوایی هر دو جنبه دینامیک پلیمر- ماده نفوذ کننده (عامل سینتیکی) و هم برهمکنش‌های پلیمر- ماده نفوذی (عامل ترمودینامیکی) را دربرمی‌گیرد که در حالت تراوایی دو جزئی به شکل زیر تعریف می‌شود:

$$\begin{bmatrix} J_1 \\ J_2 \end{bmatrix} = - \begin{bmatrix} D_{11} & D_{12} \\ D_{21} & D_{22} \end{bmatrix} \begin{bmatrix} \frac{\partial C_1}{\partial p_1} & \frac{\partial C_1}{\partial p_2} \\ \frac{\partial C_2}{\partial p_1} & \frac{\partial C_2}{\partial p_2} \end{bmatrix} \begin{bmatrix} \frac{\partial p_1}{\partial Z} \\ \frac{\partial p_2}{\partial Z} \end{bmatrix} \quad (4)$$



شکل ۳ انواع منحنی‌های هم دمای جذب در پلیمر: (الف) قانون هنری، (ب) تورم همگن، (ج) مدل دو جذبی و (د) هم دمای BET.

دو پaramتر  $b$  و  $C'_H$  در هم دمای جذب لانگمير از لحاظ مفهومی به شکل ميل ترکيبی مولکولهای گاز برای جذب شدن در حفره ها (b) و غلظت کل اين حفره ها در آن پلimer ( $C'_H$ ) توضیح داده می شوند. كاربرد وسیع این مدل به علت توافق خوب نتایج تجربی و پیش بینیهای نظری و نیز توصیف مفهومی ساده این فرایند است [۱۴]. همچنین، وجود حفره های ریز لانگمير به شکل تجربی به کمک طیفسنجی NMR در مطالعه جذب  $\text{CO}_2$  در پالی کربنات اثبات شده است [۱۵]. افزون بر این، توانایی این مدل در توصیف جذب مخلوط گازها موقیت آمیز بوده است. البته اگرچه این مدل به طور مفهومی مبنایی را برای مطالعه جذب گاز در پلimerهای شیشه ای فراهم می آورد، اما در نسبت دادن پaramترهای جذب به ویژگیهای شناخته شده پلimer- گاز و در مورد آثار جفت شدنهاي نفوذی در انتقال مخلوط گازها در پلimerهای شیشه ای با مشکل رو به روست.

### نفوذ گاز

معادله پایه برای نفوذ مولکولهای گاز در پلimerهای شیشه ای براساس قانون فیک است. موقعی که عدم تحرك کامل مولکولهای جذب شده در حالت لانگمير فرض شود، معادله شار نفوذی به شکل زیر داده می شود:

$$J = -D_D \left( \frac{\partial C_D}{\partial Z} \right) \quad (6)$$

که  $D_D$  ضریب نفوذ برای مولکولهای جذب شده در حالت جذب هنری است. یک حل ساده توسط Paul [۱۶] داده شده که قانون دوم فیک به شکل زیر بازنویسی می شود:

$$-\frac{\partial J}{\partial Z} = D_D \left( \frac{\partial C_D}{\partial Z} \right) = \frac{\partial}{\partial t} (C_D + C_H) \quad (7)$$

Paul هنگام بیان این حل برای تخمین ضرایب نفوذ پیشنهاد می کند که مولکولهای جذب شده در حالت جذب لانگمير نیز می توانند مقداری تحرك داشته باشند [۱۶]. بنابراین، اولین مدل عدم تحرك جزئی بر پایه گرادیان غلظت توسط Koros و Paul بیان شد. اصلاحات پیشنهادی در قانون نفوذ فیک با معرفی ضریب نفوذ جدید  $D_H$  برای تحرك اجزای جذب شده در حالت جذب لانگمير انجام شده است و شار نفوذی کل به شکل زیر داده می شود:

$$J = -D_D \left( \frac{\partial C_D}{\partial Z} \right) - D_H \left( \frac{\partial C_H}{\partial Z} \right) \quad (8)$$

ترمودینامیکی و سینتیکی به طور مجزا در تراوایی اجزا از غشا و آثار شار توده ای نشان می دهد که برهم کنش ترمودینامیکی (آثار جذب) نقش اصلی را در ایجاد برهم کنش تراوایی دارد و برهم کنش سینتیکی (آثار نفوذ) ناچیز است. بنابراین، رفتار جذب در پلimerهای شیشه ای نقش کلیدی را در میزان نفوذ، مقدار تراوایی و گزینش پذیری غشا به خصوص در سامانه های چند جزئی ایفا می کند. بنابراین در این مطالعه، به منظور توصیف صحیح آن با استفاده از داده های مقادیر جذب  $\text{CO}_2$  و  $\text{CH}_4$  در پلimerهای مختلف موجود در منابع علمی علاوه بر میزان جذب، رفتار جذب نیز در پلimerهای شیشه ای تحلیل شده است. با تعیین فشاری که در آن سهم هر دو حالت از جذب در پلimer با هم برابر باشد و معروفی آن به عنوان  $P_{0.5}$  تفاوت های موجود در جذب بین مواد نفوذی مختلف توضیح داده شده است. همچنین، با تفکیک حالت های جذب سهم مولکولهای جذب شده در حالت لانگمير در تراوایی کل و نحوه تغییرات آن با فشار برای تراوایی  $\text{CO}_2$  و  $\text{CH}_4$  در پلimerهای مختلف ارزیابی شده است.

### نظریه های جذب و نفوذ در غشاهاي پلimeri شیشه ای

#### جذب گاز

در مدل های توسعه یافته برای انتقال گازها از پلimerهای شیشه ای برای توصیف رفتار پلimer- گاز مدل دوجذبی هنری- لانگمير استفاده شده است. در این مدل فرض می شود که پلimer شامل زنجیرهای پیوسته ای است که در بین آنها حفره های ریز به حالت ثابت وجود دارند. بنابراین، بخشی از جذب گاز در توده پلimer انجام می گیرد که تابع قانون هنری است و مابقی جذب روی سطح ریز حفره های داخل پلimer براساس مدل جذب لانگمير انجام می شود و ساز و کار دوجذبی به شکل عبارتهاي مرکب از انحلال پذیری قانون هنری (حل شدن در زنجیرهای پیوسته پلimer) و جذب از نوع لانگمير (جذب در ریز حفره ها) بیان می گردد. فرضیات اساسی در این مدل جذب به شرح زیر است:

- ۱- دو حالت جذب هم زمان رخ می دهند.
  - ۲- دو حالت همیشه در حال تعادل هستند.
  - ۳- مواد نفوذی جذب شده در حالت لانگمير کاملاً نامتحرك هستند.
  - ۴- نفوذ فقط برای مولکولهای حل شده در حالت هنری رخ می دهد.
- مقدار جذب در پلimer برای فشار اعمالی  $P$  به شکل زیر داده می شود:

$$C = C_D + C_H = k_D p + \frac{C_H bp}{1 + bp} \quad (5)$$

## نتایج و بحث

### بررسی رفتار جذب $\text{CO}_2$ و $\text{CH}_4$ به کمک مدل دوجذبی در پلیمرهای شبشهای

بررسی رفتار جذب  $\text{CO}_2$  و  $\text{CH}_4$  به کمک مدل دوجذبی در پلیمرهای شبشهای  $\text{CO}_2$  ( $3/3\text{\AA}$ ) نسبت به  $\text{CH}_4$  ( $3/8\text{\AA}$ ) مولکول کوچکتری است، ولی در عین حال به دلیل داشتن  $T_c$  بزرگتر از  $\text{CH}_4$  قابلیت چگالش پذیری و در نتیجه اتحلال پذیری بیشتری نسبت به آن دارد و به دلیل همین اتحلال پذیری زیاد و برهمنشنهای خاص آن با انواع پلیمرها، برخلاف متان، که جزوگازهای غیربرهمکنشی است،  $\text{CO}_2$  یک مولکول برهمنشی محسوب می‌شود.

به منظور بررسی رفتار جذب  $\text{CO}_2$  و  $\text{CH}_4$  به کمک مدل دوجذبی، در جدول ۱ پارامترهای مدل دوجذبی برای  $\text{CO}_2$  و در جدول ۲ پارامترهای مدل برای  $\text{CH}_4$  در پلیمرهای متفاوت از منابع مختلف استخراج و ذکر شده است (تمام داده‌ها در دمای  $35^\circ\text{C}$  به دست آمده‌اند). همان‌طور که در این جدولها نیز مشخص است،  $\text{CO}_2$  دارای مقادیر بیشتر  $K_{\text{D}}$ ،  $b$  و  $C'$  است که این مورد از اتحلال پذیری بیشتر آن نسبت به  $\text{CH}_4$  نتیجه می‌شود.

با بررسی اتحلال پذیری این دو گاز در پلیمرهای مختلف به کمک مدل دوجذبی، ملاحظه می‌گردد که مدل‌های جذب این دو ماده نفوذی علاوه بر تفاوت در مقدار اتحلال پذیری از لحاظ ساختار ظاهری نیز در محدوده فشار معمول آزمایش‌های جذب، متفاوت‌اند. برای  $\text{CO}_2$  در محدوده فشارهای معمول ریز حفره‌های مربوط به حالت جذب لانگمیر با افزایش فشار به سرعت سیر شده و پس از آن جذب در حالت هنری وجه غالب در اتحلال پذیری است. درحالی که  $\text{CH}_4$  به راحتی نمی‌تواند وارد ریز حفره‌های حالت لانگمیر شود و بنابراین جذب در حالت لانگمیر حتی تا فشارهای بسیار زیاد عبارت تعیین‌کننده در جذب کل پلیمر است. با توجه به شکل منحنی‌های جذب در حالت‌های لانگمیر و هنری می‌توان این طور بیان کرد که مولکولها در شروع تمایل به جذب (ورود) در حالت لانگمیر دارند و بیشتر وارد این منافذ می‌گردند. ولی، به تدریج با سیرشدن این منافذ، درصد منافذ خالی کاهش یافته و جذب در آنها نسبت به جذب در حالت هنری مشکل‌تر می‌شود. بنابراین، جذب در حالت هنری افزایش می‌یابد و به همین علت است که در فشارهای پایین صرف نظر از نوع ماده نفوذی و پلیمر همواره سهم حالت لانگمیر نسبت به حالت هنری در جذب مولکولها بیشتر است.

$\text{CO}_2$  با توجه به کوچک بودن سریعاً منافذ حالت لانگمیر را سیر کرده و بلافاصله جذب آن در حالت هنری آغاز می‌شود ( $K_{\text{D}}$  بالاتر) ولی  $\text{CH}_4$  این قابلیت را نداشته و نیاز به فشارهای بالاتری برای سیرشدن کامل

در اینجا فرض می‌شود، هر دوی ضرایب نفوذ مستقل از غلظت‌اند و  $D_D$  عموماً بزرگتر از  $D_H$  است.

برای ساده کردن محاسبات عامل  $F$  به شکل نسبت ضریب نفوذ حالت لانگمیر به ضریب نفوذ اجزای جذب شده در حالت هنری تعریف می‌شود:

$$F = \frac{D_H}{D_D} \quad (9)$$

برای حالتی که فشار طرف دوم غشا برابر صفر است، ضریب تراوایی به شکل زیر به دست می‌آید:

$$P = K_D D_D \left[ 1 + \frac{FK}{1 + bp_r} \right] \quad (10)$$

که  $K = \frac{c_{\text{H}} b}{K_D}$  است. نشان داده می‌شود، فاکتور عامل  $F$  هنگامی که آثار فشار خوراک روی قابلیت تراوایی گاز مطالعه می‌شود، مهم است. برای حالت مرزی  $F = 0$  تراوایی با مدل اتحلال - نفوذ یکسان است. در حالی که برای آثار فشار خوراک زیاد خواهد بود. برای  $F < 1$ ، وابستگی به فشار به وسیله مقادیر  $K$  و  $F$  کنترل می‌شود.

توسعه مدل دوجذبی هنری - لانگمیر برای مخلوط براساس این فرض است که نخستین اثر با توجه به حضور گازهای دیگر باید رقابت بین مواد نفوذی برای حجم‌های خالی ثابت در پلیمر باشد. همچنین، ضریب جذب قانون هنری برای یک گاز، مستقل از حضور اجزای دیگر فرض می‌شود.

براساس این فرضیات غلظت کل گاز شامل اجزای  $B$  و  $A$  در پلیمر به شکل زیر داده می‌شود:

$$C = K_{DA} P_A + K_{DB} P_B + \frac{c'_{HA} b_A p_A + c'_{HB} b_B p_B}{(1 + b_A p_A + b_B p_B)} \quad (11)$$

در اینجا تمام پارامترها مشابه حالت قبل تعریف شده‌اند و  $P$  فشار جزئی اعمالی جزء  $i$  است. حاصل ضرب ثابت میل ترکیبی ( $b_i$ ) و فشار جزئی ( $p_i$ ) را برای هر جزء  $i$  نسبتی از حجم خالی کل، که به وسیله آن جزء اشغال می‌شود، مشخص می‌کند.

تراوایی جزء  $A$  با فرض اینکه فشار طرف دوم غشا هر دو جزء ناچیز باشد، به شکل زیر بیان می‌شود:

$$P_A = K_{DA} D_{DA} \left[ 1 + \frac{F_A K_A p_{A\gamma} / (p_{A\gamma} - p_{A1})}{1 + b_A p_{A\gamma} + b_B p_{B\gamma}} \right] \quad (12)$$

جدول ۱ پارامترهای مدل دوجذبی برای  $\text{CO}_2$  در پلیمرهای مختلف.

مرجع	$b \left( \frac{\text{mL(STP)}}{\text{cm}^r} \right)$	$C'_H \left( \frac{1}{\text{atm}} \right)$	$K_D \left( \frac{\text{mL(STP)}}{\text{cm}^r \text{atm}} \right)$	نوع پلیمر
[۱۷]	۰/۳۶۴	۳۳/۴	۱/۲۷۷	۶FDA-۶F <sub>P</sub> DA
[۳]	۰/۰۷۶۲	۴۲/۸۰ ۴۰/۴۶	۱/۹۷۴۲	پلی ایمید
[۱۸]	۰/۹۳ ۱/۴۷۵	۱۴/۶	۱/۳۸ ۱/۶۵	۶FDA-۱, ۵NDA
[۲۱]	۰/۷۴۵	۱۴/۶	۱/۱۳	BBL
[۱۹]	۰/۳۷	۱۲	۰/۵۸	PSF-C
	۰/۳۷	۱۰/۳	۰/۶۰	PSF-D
	۰/۳۷	۸/۲	۰/۶۲	PSF-N
[۱۹]	۰/۳۷	۷/۶	۰/۸	PC
	۰/۳۷	۱۰/۲	۰/۶	PSF
	۰/۵۴	۱۲/۴	۰/۸۳	PEI
[۲۲]	۱/۰۲۳	۳۴/۰.۸۴	۱/۵۲۶	۶FDA-TADPO
[۲۰]	۰/۲۶۱۸	۱۸/۸۰۵	۰/۶۸۵۲	پلی کربنات
[۲۰]	۰/۲۹۰	۷/۱۴	۰/۳۰	پلی (اتیلن ترفتالات)

که از مدل دوجذبی می‌دانیم با افزایش فشار سهم جذب لانگمیر نسبت به جذب کل کاهش می‌باید و در نهایت به صفر میل می‌کند:

$$\lim_{r \rightarrow \infty} \frac{C_H}{C} = 0. \quad (13)$$

ریز حفره‌ها در حالت لانگمیر دارد. از طرفی، همان‌طور که ذکر شد تا این منافذ تا حد قابل قبولی سیر نشوند، جذب در حالت هنری مقدار ناچیزی خواهد داشت. بنابراین، در مورد  $\text{CH}_4$  تا فشارهای بالا جذب در حالت لانگمیر ادامه داشته و وجه غالب را تشکیل می‌دهد. از طرفی، همان‌طور

جدول ۲ پارامترهای مدل دوجذبی برای  $\text{CH}_4$  در پلیمرهای مختلف.

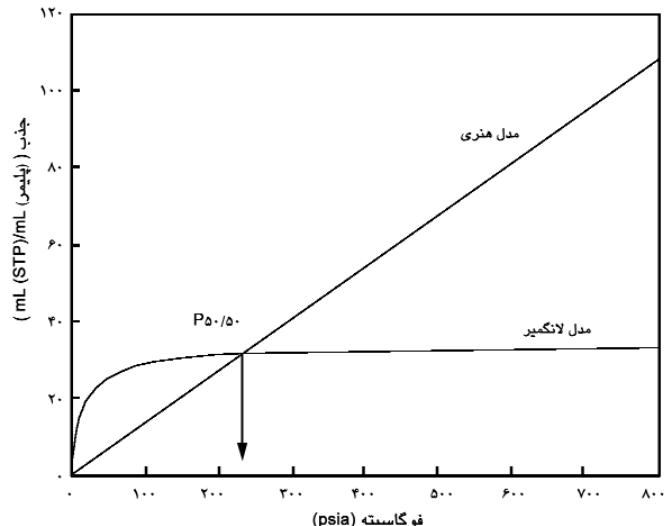
مرجع	$b \left( \frac{\text{mL(STP)}}{\text{cm}^r} \right)$	$C'_H \left( \frac{1}{\text{atm}} \right)$	$K_D \left( \frac{\text{mL(STP)}}{\text{cm}^r \text{atm}} \right)$	نوع پلیمر
[۱۷]	۰/۱۱۷	۲۰/۶۳	۰/۲۸۷	۶FDA-۶F <sub>P</sub> DA
[۳]	۰/۱۲۶	۲۹/۶	۰/۱۷۳	پلی ایمید
[۱۸]	۰/۱۴ ۰/۱۴	۲۷/۰.۵۸ ۲۷/۳۳	۰/۳۳ ۰/۳۷	۶FDA-۱, ۵NDA
[۲۱]	۰/۰۴۸	۱۳/۰	۰/۱۱۵	BBL
[۲۲]	۰/۱۶۰	۲۲/۸۳۸	۰/۳۲۷	۶FDA-TADPO
[۲۰]	۰/۰۳۴۱	۸/۳۸۲	۰/۱۴۷۳	پلی کربنات
[۲۰]	۰/۰۹۰	۳/۲۸۲	۰/۰۴۹۲	پلی (اتیلن ترفتالات)

### $P_{50/50}$ معروفی پارامتر

با تعیین فشاری که در آن سهم هر دو حالت از جذب در پلیمر با هم برابر باشد و معرفی آن به عنوان  $P_{50/50}$  می‌توان تفاوت‌های موجود در جذب بین مواد جذبی مختلف را بهتر بیان کرد (شکل ۴).

در جدولهای ۳ و ۴ مقادیر این فشار برای پلیمرهای مختلف محاسبه شده است. برای محاسبه این مقادیر از داده‌های تجربی موجود در منابع علمی برای جداسازی مخلوط  $\text{CO}_2 / \text{CH}_4$  استفاده شده است. ملاحظه می‌گردد که این فشار در مورد  $\text{CO}_2$  نسبت به  $\text{CH}_4$  در جذب در پلیمرهای مختلف بسیار کوچک‌تر است و نمایانگر این است، برای  $\text{CH}_4$  جذب لانگمیر معمولاً سهم بیشتری از جذب را بیویژه در فشارهای پایین دارد. ولی، در باره بعضی پلیمرها عملاً آنقدر بزرگ است که برای داده‌های جذب موجود در فشارهای معمول به طور عملی به این فشار نمی‌رسیم و در شکل‌ها هم مشاهده نمی‌شود که در این موارد جذب لانگمیر همواره وجه غالب را تشکیل می‌دهد.

هرچه مقدار پارامتر  $P_{50/50}$  بزرگ‌تر باشد، بیانگر این است که سهم جذب در حالت لانگمیر نسبت به سهم جذب در حالت هنری دارای



شکل ۴ حالت‌های جذب مدل دو جذبی و  $P_{50/50}$ .

ولی سهم جذب هنری با افزایش فشار افزایش یافته و در نهایت به یک می‌رسد:

$$\lim_{P \rightarrow \infty} \frac{C_D}{C} = 1 \quad (14)$$

جدول ۳ پارامترهای محاسبه شده مدل دو جذبی برای دیوکسید کربن.

$P_{50/50}$ (atm)	درصد سیرشدگی حالت لانگمیر در $P_{50/50}$	$\lim_{P \rightarrow \infty} \frac{C_D}{C}$	$\lim_{P \rightarrow \infty} \frac{C_D}{C_H}$	پلیمر
۲۹/۲	٪ ۹۱/۴	۰/۰۷۹۲	۰/۰۸۶	۶FDA-۶F <sub>p</sub> DA
۱۶	۹۴/۵۱	۰/۰۵۲	۰/۰۵۴	پلی‌ایمید
۶۰	۹۶/۵۴	۰/۰۳۵	۰/۰۳۴	۶FDA-۱، ۵NDA
۲۳/۶	۹۶/۸۵	۰/۰۳۷	۰/۰۳۹	
۱۱/۷	۸۹/۷۰	۰/۰۹۴	۰/۱۰۳	BBL
۱۸	۸۹/۹۴	۰/۱۱۵	۰/۱۳۰	PSF-C
۱۴/۵	۸۴/۲۸	۰/۱۳۶	۰/۱۵۷	PSF-D
۱۳/۱	۸۷/۶۱۵	۰/۱۱	۰/۱۲۳	PSF-N
۶/۸	۷۱/۵۵	۰/۲۲۱	۰/۲۸۴	PC
۱۴/۵	۸۴/۲۸	۰/۱۳۶	۰/۱۵۷	PSF
			۰/۱۲۳	PEI
۲۱/۴	۹۵/۶۵	۰/۰۴۱۷	۰/۰۴۳	۶FDA-TADPO
۲۲/۷	۸۶/۱۲	۰/۱۲۲	۰/۱۳۹	پلی‌کربنات
۲۰/۴	۸۵/۵۴	۰/۱۲۶	۰/۱۴۵	پلی(اتیلن ترفتالات)
۹/۶	۶۹/۳۸	۰/۲۳۵	۰/۳۰۸	پلی‌متیل متاکریلات

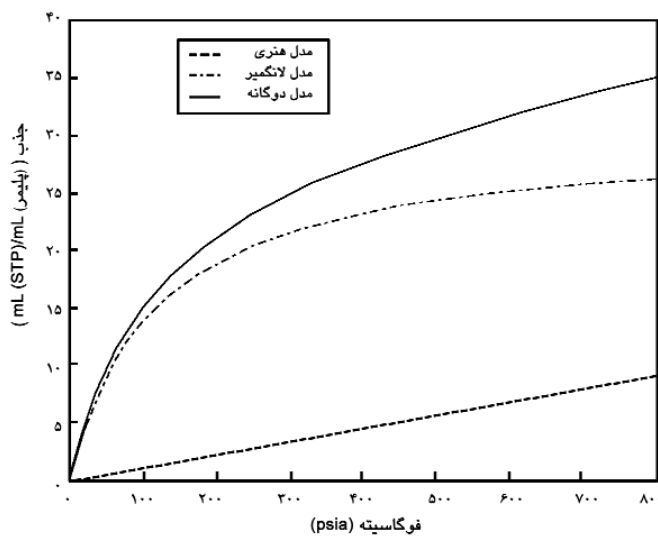
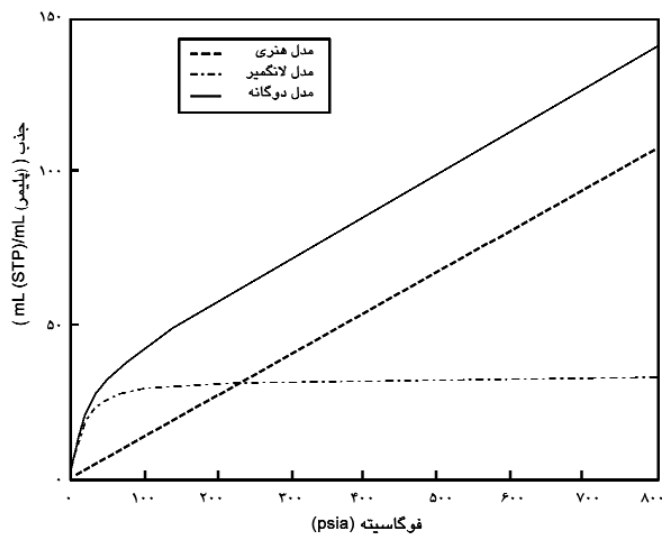
جدول ۴ پارامترهای محاسبه شده مدل دو جذبی برای متان.

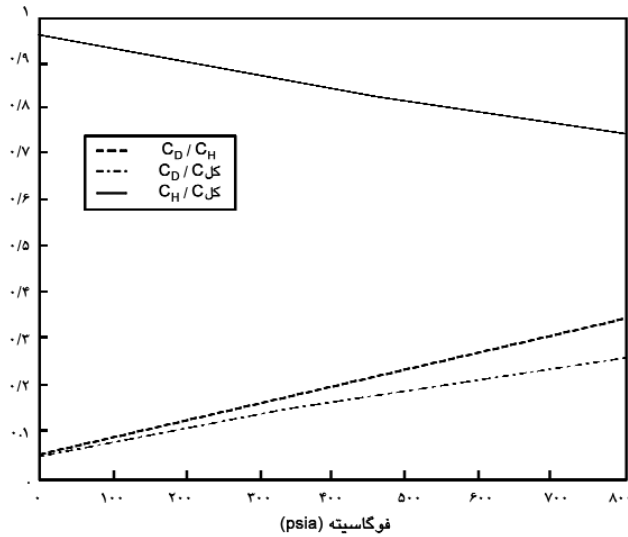
$P_{50/5}$ (atm)	درصد سیرشدگی حالت لانگمیر در	$\lim_{P \rightarrow \infty} \frac{C_D}{C}$	$\lim_{P \rightarrow \infty} \frac{C_D}{C_H}$	پلimer
۶۳/۴	۸۸/۱۲	۰/۱۰۶	۰/۱۱۸۹	۶FDA-۶F <sub>P</sub> DA
۱۶۳/۲	۹۵/۳۶	۰/۰۴۴	۰/۰۴۶	پلی ایمید
۷۶/۵	۹۱/۴۶	۰/۰۷۸	۰/۰۸۵	۶FDA-۱, ۵NDA
۶۶/۵	۹۰/۳۰	۰/۰۸۸	۰/۰۹۷	
۹۲/۳	۸۱/۵۸	۰/۱۵۵	۰/۱۸۴	BBL
۶۳/۶	۹۱/۰۵	۰/۰۸۲	۰/۰۸۹	۶FDA-TADPO
۴۵/۱	۷۹/۱۳	۰/۱۷۲۸	۰/۲۰۸۹	پلی کربنات
۵۵/۶	۸۳/۳۴	۰/۱۴۲	۰/۱۶۶	پلی (اتیلن ترفتالات)

درصد بالاتری از منافذ در این فشار سیر شده باشند، بیانگر این است که در جذب ماده نفوذی در یک پلimer خاص با افزایش فشار منافذ سریع تر سیر می شوند. به عبارت دیگر، جذب لانگمیر نسبت به افزایش فشار حساس تر بوده و ماده نفوذی حتی در غلظتهای کم (فشار کم) به راحتی می تواند در ریز حفره ها جذب شود یا ساختار پلimer به نحوی است که ماده نفوذی امکان جذب سریع تر در منافذ حالت لانگمیر را پیدا می کند و در این حالت نسبت به جذب در حالت هنری دارای اهمیت است. باید به این نکته توجه داشت که با توجه به شکل منحنی جذب، مدل

اهمیت بیشتری است. از این پارامتر می توان به عنوان مقیاسی از میزان نزدیکی مدل جذب به مدل هنری خالص یا جذب لانگمیر خالص بهره گرفت. هرچه  $P_{50/5}$  کوچکتر باشد، قسمت اصلی جذب در حالت هنری انجام می گیرد و برعکس بزرگ بودن آن بیانگر اهمیت حالت لانگمیر است.

پارامتر دیگری که برای تراوایی  $\text{CO}_2$  و  $\text{CH}_4$  از پلimerهای مختلف تعریف و محاسبه شده است، درصد سیرشدگی منافذ حالت لانگمیر در  $P_{50/5}$  است. اندازه گیری پارامتر مزبور از این جهت مهم است که اگر

شکل ۶ مدل دو جذبی با تفکیک حالتها در جذب  $\text{CH}_4$  در پلی ایمید.شکل ۵ مدل دو جذبی با تفکیک حالتها در جذب  $\text{CO}_2$  در پلی ایمید.

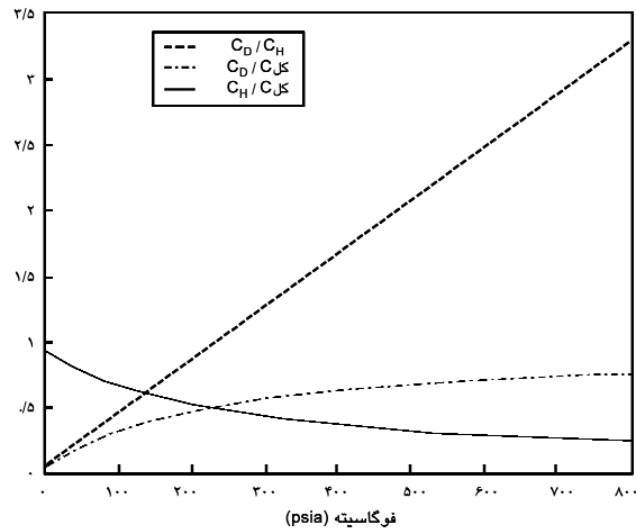


شکل ۸ میزان اهمیت حالت‌های جذب برای جذب  $\text{CH}_4$  در پلی‌ایمید.

$(\text{C}_D)$  و نیز نسبت به یکدیگر  $(\text{C}_D/\text{C}_H)$  به شکل تابعی از فشار، برای دیوکسید کربن و متان رسم گردیده است.

#### توصیف تحلیلی مدل عدم حرکت جزئی

همان‌طور که گفته شد، در کاربرد مدل دوگانه معمولاً در همه مراجع استفاده از ضریب نفوذ متفاوت در حالت‌های مختلف جذب مدل دوگانه پذیرفته شده و به عنوان پارامترهای مدل عدم حرکت جزئی استفاده می‌گردد.  $F$ . به دست آمده را به شکل آلترناتیو به عنوان کسر متحرک مولکولهای جذب شده در حالت لانگمیر درنظر می‌گیرند. مقدار  $F$  که برای مواد جذبی مختلف در پلیمرهای متفاوت به دست می‌آید، معمولاً مقداری بین  $0.1$  و  $0.2$  دارد و این‌طور تصور می‌شود که سهم مولکولهای جذب شده در حالت لانگمیر از تراویش کل بیشتر از چند درصد نیست. در حالی که در این تحقیق نشان داده شد، این تصور درست نیست. اشکال دیگر این نحوه کاربرد آن است که با فرض ضرایب نفوذ متفاوت برای هر حالت جذب، عملاً از گرادیان غلظت کل مولکولهای جذب شده در حالت لانگمیر در معادله تراویش استفاده می‌گردد که این امر با بحث عدم حرکت جزئی مولکولها در حالت لانگمیر مطابقت ندارد و باید از گرادیان غلظت مولکولهای متتحرک (نفوذی) استفاده شود. از این‌رو، مواردی وجود دارد که به سبب گذشت زمان استفاده کنندگان از این مدل آن را به فراموشی سپرده‌اند. هرچند عدم آگاهی از آن خللی به مدل وارد نمی‌آورد، ولی در نظر داشتن این نکته در ذهن لازم به نظر می‌رسد. موضوعی که در استفاده از نظریه عدم حرکت جزئی در مدل جذب



شکل ۷ میزان اهمیت حالت‌های جذب برای جذب  $\text{CO}_2$  در پلی‌ایمید

لانگمیر نسبت به فشار بسیار حساس‌تر از مدل هنری است و همان‌طور که نتایج موجود در جدولهای ۳ و ۴ نیز نشان می‌دهند، در  $P_{0.5}$  معمولاً درصد زیادی از منافذ حالت لانگمیر سیر شده‌اند.

بنابراین، اختلافهای کوچک در درصد سیرشدنگی در فشار  $P_{0.5}$  نیز دارای اهمیت است. از دیگر موارد محاسبه شده در جدولهای ۳ و ۴ نسبت سهم حالت هنری به حالت لانگمیر در فشار صفر  $\lim_{P \rightarrow 0} \frac{\text{C}_D}{\text{C}_H}$  و نسبت جذب در حالت هنری به جذب کل در فشار صفر  $\lim_{P \rightarrow 0} \frac{\text{C}_D}{\text{C}}$  است:

$$\lim_{P \rightarrow 0} \frac{\text{C}_D}{\text{C}_H} = \lim_{P \rightarrow 0} \frac{\text{K}_D^P}{\text{C}'_H \text{bp}} = \frac{\text{K}_D}{\text{C}'_H \text{b}} \quad (15)$$

عدد بدون بعد  $\frac{\text{K}_D}{\text{C}'_H \text{b}}$  در برگیرنده تمام پارامترهای مدل دوجذبی است و گاهی در مراجع در معادله‌های تراویشی از عکس آن استفاده می‌شود که بدین ترتیب مفهوم این عدد مشخص می‌گردد:

$$\lim_{P \rightarrow 0} \frac{\text{C}_D}{\text{C}} = \lim_{P \rightarrow 0} \frac{\text{K}_D \text{p}}{\text{C}'_H \text{bp} + \frac{\text{K}_D \text{p}}{\text{K}_D \text{p} + \frac{\text{C}'_H \text{b}}{1 + \text{bp}}}} = \frac{\text{K}_D}{\text{K}_D + \text{C}'_H \text{b}} \quad (16)$$

یکی از موارد جالب توجه تفاوت جذب  $\text{CO}_2$  و  $\text{CH}_4$  رفتار مدل دو جذبی آنها در پلیمر پلی‌ایمید است. در این پلیمر  $P_{0.5}$  برای  $\text{CO}_2$  ۱۶ atm است، در حالی که برای  $\text{CH}_4$  ۱۶۳ atm محاسبه شده است. در شکلهای ۵ و ۶ مدل دوجذبی به تفکیک حالتها و در شکلهای ۷ و ۸ نسبت هر یک از حالت‌های جذب به جذب کل  $\text{C}_H/\text{C}_{\text{total}}$  و  $\text{C}_D/\text{C}_{\text{total}}$

$$= \left( -D_D \left[ \frac{\partial C_D}{\partial f} - F \frac{\partial C_H}{\partial f} \right] \right) \frac{\partial f}{\partial X} \quad (21)$$

## ۲- حالت دوم

$$J = -D \frac{\partial C_D}{\partial X} - D \frac{\partial C_{H\text{mobile}}}{\partial X} \quad (22)$$

$$J = -D \frac{\partial C_D}{\partial f} \cdot \frac{\partial f}{\partial X} - D \frac{\partial F C_H}{\partial f} \cdot \frac{\partial f}{\partial X} \quad (23)$$

$$J = \left( -D \left[ \frac{\partial C_D}{\partial f} - F \frac{\partial C_H}{\partial f} \right] \right) \frac{\partial f}{\partial X} \quad (24)$$

که در آن  $D_D = D_H = D$  و  $F = \frac{C_{H\text{mobile}}}{C_H}$  است. ملاحظه می‌گردد دو روش با فرضیات و توضیحات ارائه شده با هم معادل هستند و به همین علت در مراجع بارها بدون توجه معادل هم درنظر گرفته شده‌اند. ولی همین طور که قبل نشان داده شد،  $F$  در دو حالت دارای مفهوم متفاوتی است. از این رو، برای اینکه مفهوم  $F$  دقیق مشخص شود چنین عمل می‌کنیم:

$$J = -D_D \frac{\partial C_D}{\partial X} - D_H \frac{\partial C_{H\text{mobile}}}{\partial X} \quad (25)$$

$$= -D_D \frac{\partial C_D}{\partial f} \cdot \frac{\partial f}{\partial X} - D_H \frac{\partial F_C C_H}{\partial f} \cdot \frac{\partial f}{\partial X} \quad (26)$$

$$C_m = C_D + F_C C_H = K_D f + F_C \frac{C'_H b f}{1 + b f} \quad (27)$$

$$J = \left( -D_D \frac{\partial C_D}{\partial f} - D_H \frac{\partial F_C C_H}{\partial f} \right) \frac{\partial f}{\partial X} \quad (28)$$

$$= \left( -D_D K_D - D_H F_C \frac{C'_H b}{(1 + b f)} \right) \frac{\partial f}{\partial X} \quad (29)$$

$$= \left[ K_D \left( 1 + \frac{F_C F_C \frac{C'_H b}{K_D}}{(1 + b f)} \right) D_D \right] \frac{\partial f}{\partial X} \quad (30)$$

دوجذبی باعث مغушش شدن بحث می‌شود، این است که در همه مراجع مقدار  $F = C_{H\text{mobile}}/C_D$  یعنی کسر مولکولهای متتحرک حالت لانگمیر متناظر با  $F = D_H/D_D$  یعنی نسبت ضریب نفوذ حالت لانگمیر به هنری درنظر گرفته شده است و به طور گسترده استفاده می‌شود. البته نشان خواهیم داد که در شرایط و فرضیات مشخص متناظر گرفتن این دو اشکالی ندارد، ولی با نگاه دقیق‌تری باید آنها را متمایز کرد. بنابراین، دو پارامتر  $F_D$  و  $F_C$  را به شکل زیر تعریف می‌کنیم:

$$F_C = \frac{C_{H\text{mobile}}}{C_H} \quad (17)$$

$$F_D = \frac{D_H}{D_D} \quad (18)$$

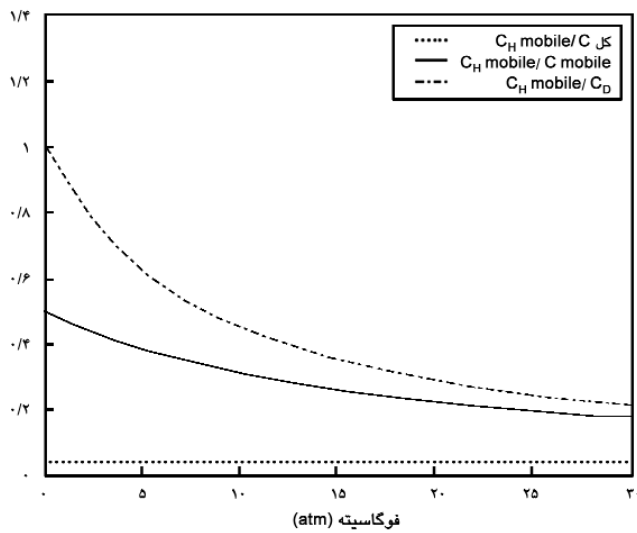
و نشان داده می‌شود که  $F$  مورد استفاده در مراجع در حقیقت به شکل  $F = F_C F_D$  است و از این رو یکسان گرفتن این دو صحیح به نظر نمی‌رسد.

غلظت کل گاز به دو دسته غلظت متتحرک و غلظت نامتحرك تقسیم می‌گردد. غلظت متتحرک ضریب نفوذی به شکل  $D$  و غلظتی به صورت  $C_m$  دارد. در حالی که بخش نامتحرك دارای غلظت  $C - C_m$  است. بنابراین، تمام گازی که به  $C_D$  و همچنین نسبت  $F = C_H/C_m$  مربوط می‌شود، متتحرک است در حالی که نسبت  $(1 - F)C_H$  نامتحرك است. به دو حالت می‌توان معادله شار نفوذی را بیان کرد: حالت اول قائل شدن دو ضریب نفوذ برای هر یک از حالتها و نیروی رانش کل مولکولهای جذب شده در هر حالت جذب برای حرکت است و حالت دوم فرض برابر بودن ضریب نفوذ هر دو حالت و نیروی رانش مولکولهای متتحرک در ایجاد حرکت را درنظر می‌گیرد. هر دو حالت در نهایت با هم معادل، ولی دارای اشکال‌اند. در ضمن، همان‌طور که در مطالب گذشته اشاره شد، حالت اول دارای پذیرش و کاربرد عمومی در مراجع است. بنابراین، شارهای مولی در دو حالت به شکل زیر بیان می‌گردند:

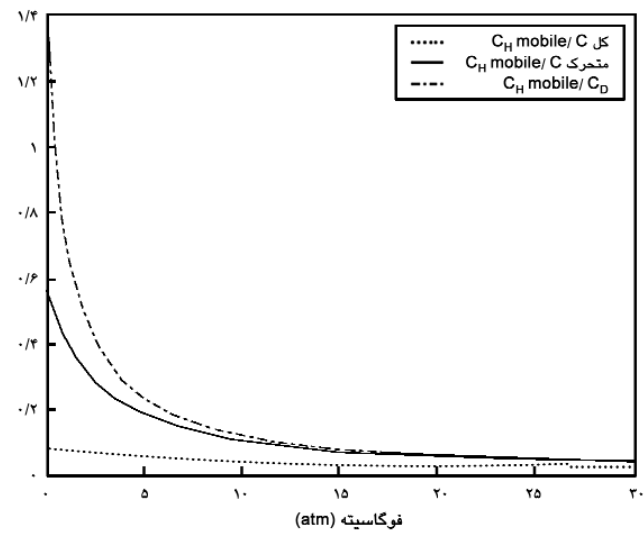
## ۱- حالت اول

$$J = -D_D \frac{\partial C_D}{\partial Z} - D_H \frac{\partial C_H}{\partial Z} \quad (19)$$

$$= -D_D \frac{\partial C_D}{\partial f} \cdot \frac{\partial f}{\partial X} - D_H \frac{\partial C_H}{\partial f} \cdot \frac{\partial f}{\partial X} \quad (20)$$



شکل ۱۰ سهم حالت لانگمیر از تراوش کل برای متان در پلی ایمید.



شکل ۹ سهم حالت لانگمیر در تراوش کل برای دیوکسید کربن در پلی ایمید.

(ضرایب نفوذ مولکولهای جذب شده در حالت هنری) بسیار بزرگ‌تر از  $D_H$  (ضرایب نفوذ مولکولهای جذب شده در حالت لانگمیر) است، بنابراین نسبت این دو ضریب معمولاً  $F = D_H/D_D$  در موارد مختلف حدود  $0.03-0.08$  است. در صورتی که اگر تحلیل کاملی درباره این مولکولها انجام شود، با وجود این‌که حدود ۹۵ درصد مولکولهای جذب شده در این حالت نامتحرك‌اند، ولی درصد کوچک باقی‌مانده در حالتی است که تمایل به جذب مولکولها در ریزحفره‌های ساختار پلیمر باشد. همین درصد کوچک سهم جذب شده در ملاحظه‌ای را در برابر حالت هنری و نیز کل مولکولهای متحرك دارد. ذکر این نکته ضروری است، سهم آنها نسبت به کل مولکولهای جذب شده در پلیمر همیشه ناچیز و حدود چند درصد کل است، ولی این مقایسه صحیح نیست. چون طبق مدل عدم تحرك جزئی فقط مولکولهای متحرك در تراوایی نقش دارند و از این‌رو، اهمیت مولکولهای متحرك حالت لانگمیر نسبت به مولکولهای مشابه خود قابل دیدن است و اشتباه تصویر موقعیت این مولکولها براساس داوری مقدار  $F = D_H/D_D$  نیاز از همین مورد ناشی شده و باعث شده است تا سهم مولکولهای جذب شده در حالت لانگمیر معمولاً بسیار ناچیز فرض شود. البته در بعضی موارد، بویژه در فشارهای زیاد، ممکن است چنین نیز باشد، ولی در بسیاری از پلیمرها، به طور خاص در فشارهای کم،  $P_{0.05}$  سهم این مولکولها نسبت به سهم مولکولهای حالت هنری درصد قابل توجه و همچنین در مقایسه با کل مولکولهای متحرك قابل ملاحظه است.

$$\int_Z J dx = \int_{f_1}^{f_2} K_D D_D \left( 1 + \frac{C'_H b}{(1+bf)} \right) df \quad (31)$$

$$P \Delta f = NZ \quad P = \frac{J}{\Delta f / Z} \quad (32)$$

حال اگر  $D_D$  و  $D_H$  ثابت فرض شوند:

$$P = D_D K_D \left( 1 + \frac{C'_H b}{(1+bf)} \right) \quad (33)$$

که اگر  $F$  کلی را به شکل  $F = F_C F_D$  تعریف کنیم،  $F$  به دست آمده معادل با همان نسبتی است که در مراجع از آن استفاده می‌شود و در معادلات وجود دارد.

### تعیین سهم مولکولهای جذب شده در حالت لانگمیر در مقایسه با حالت هنری

نکته مهم در ارتباط با مدل دوگانه و عدم تحرك جزئی، که متأسفانه تحلیل دقیقی در مورد آن انجام نگرفته است، سهم مولکولهای جذب شده در حالت لانگمیر از تراوش کل است.

با توجه به این که در کاربرد مدل عدم تحرك جزئی زمینه کار به سمت معرفی ضرایب نفوذ متفاوت  $D_D$  و  $D_H$  سوق یافته است و بین این ضرایب برای مواد نفوذی مختلف در پلیمرهای متفاوت معمولاً  $D_D$

زياد حفظ می‌شود و کاهش اختلاف آن بسیار به آرامی انجام می‌گیرد. مورد بعدی این است که در پلیمری خاص سهم مولکولهای متتحرک در حالت لانگمیر نسبت به کل مولکولهای متتحرک (یا حالت هنری) بیشتر از مقادیر مشابه برای  $\text{CH}_4$  است. ولی، مجدداً با افزایش فشار برای  $\text{CO}_2$  اهمیت آن خیلی سریع تراز  $\text{CH}_4$  کاسته می‌شود.

## نتیجه گیری

با بررسی انحلال پذیری  $\text{CO}_2$  و  $\text{CH}_4$  در پلیمرهای مختلف به کمک مدل دوجذبی، ملاحظه می‌شود که علاوه بر تفاوت در مقدار انحلال پذیری مدل‌های جذب این دو ماده نفوذی از لحاظ ساختار ظاهری در محدوده معمول آزمایش‌های جذب، متفاوت هستند. پارامتر  $P_{5/5}$  برای جذب نسبت  $\text{CO}_2$  به  $\text{CH}_4$  در پلیمرهای مختلف بسیار کوچک‌تر است و نشان‌دهنده این است که سهم جذب در حالت لانگمیر نسبت به سهم جذب در حالت هنری دارای اهمیت کمتری است. از این پارامتر می‌توان به عنوان مقایسه از میزان نزدیکی مدل جذب به مدل هنری خالص یا جذب لانگمیر خالص بهره‌گرفت. در این مطالعه با تعریف درست پارامتر  $F$  مورد استفاده در مراجع به شکل حاصل ضرب نسبت غلطتها در دو حالت در نسبت ضرایب نفوذ در دو حالت ( $F_C = F_D$ )، ضمن این‌که سهم هر یک از حالت‌های جذب از جذب کل و همچنین اثر آنها در شار نفوذی کل غشا مشخص گردید، سعی شد تا توصیف مناسبتری از عدم تحرک جزئی به دست آید.

نتایج محاسبات برای پلیمرهای مختلف نشان داد که سهم مولکولهای متتحرک حالت لانگمیر نسبت به کل مولکولهای جذب شده در پلیمر بیش از ۵ درصد نیست که بسیار ناچیز است. ولی، این امر را نباید به معنی بی‌اهمیت بودن این مولکولها دانست. چون سهم این مولکولها نسبت به کل مولکولهای متتحرک در حدود ۲۵-۶۰ درصد در پلیمرهای مختلف و نسبت به مولکولهای جذب شده در حالت هنری ۳۵-۱۰۰ درصد در فشارهای اولیه گردید، سعی شد تا توصیف لانگمیر تا  $10-15 \text{ atm}$  درست شود. در سهم این مولکولها برای  $\text{CO}_2$  و  $\text{CH}_4$  دیده می‌شود، این است که اختلاف بین نسبت این مولکولها به کل مولکولهای متتحرک با نسبت این مولکولها به مولکولهای حالت هنری برای  $\text{CO}_2$  در فشارهای اولیه بسیار بالاست. مثلاً در مورد  $(\text{CO}_2 \text{ in } 6\text{DDA}, 1, 5\text{NDA})$  به بیش از ۱ می‌رسد. در پلی‌ایمید حدود ۸/۰ ولی برای  $\text{CH}_4$  این تفاوت اولیه حدود ۰/۱۵-۰/۱۰ بیشتر نیست. نکته جالب این است که برای  $\text{CO}_2$  با وجود اختلاف اولیه زیاد بین این دونسبت، این اختلاف با افزایش فشار به سرعت کاهش یافته و در فشارهای نه چندان زیاد اختلاف بسیار ناچیز می‌شود. ولی بر عکس برای  $\text{CH}_4$  اختلاف در فشارهای کم زیاد نیست، ولی تا فشارهای زیاد حفظ می‌گردد.

برای مقایسه و تحلیل سهم مولکولهای متتحرک حالت لانگمیر از تراوش کل، تمام پلیمرهای موجود در جدولهای ۱ و ۲ بررسی شدند و نمودارها با توجه به مقدار  $F$  موجود در هر مرجع محاسبه و رسم شده‌اند. به عنوان نمونه نتایج مربوط به پلی‌ایمید در شکل‌های ۹ و ۱۰ آورده شده است.

در شکل‌های ۹ و ۱۰ همان نسبت مولکولهای متتحرک (نفوذی) جذب شده در حالت لانگمیر به کل مولکولهای جذب شده در پلیمر ( $C_{\text{Hmobile}}/C_{\text{total}}$ ) و همچنین نسبت این مولکول به کل مولکولهای متتحرک ( $C_{\text{mobile}}/C_{\text{D}}$ ) یعنی ( $C_{\text{mobile}} = C_{\text{D}} + FC_{\text{H}}$ ) و نیز نسبت به مولکولهای حالت هنری ( $C_{\text{Hmobile}}/C_{\text{D}}$ ) رسم شده است. از نتایج محاسبات برای پلیمرهای مختلف ملاحظه می‌شود، سهم مولکولهای متتحرک حالت لانگمیر نسبت به کل مولکولهای جذب شده در پلیمر بیش از ۵ درصد نیست. این مقدار بسیار ناچیز است، ولی نباید آن را به معنی بی‌اهمیت بودن این مولکولها دانست. چون سهم این مولکولها نسبت به کل مولکولهای متتحرک در حدود ۲۵-۶۰ درصد برای پلیمرهای مختلف در فشارهای کم است که سهم قابل ملاحظه‌ای است. همچنین، اگر سهم این مولکولها نسبت به مولکولهای جذب شده در حالت هنری سنجیده شود، ملاحظه می‌شود که با وجود تصور ذهنی موجود از این‌که مولکولهای جذب شده در حالت هنری سهم اصلی را در تراوایی دارند، در فشارهای کم سهم این مولکولها نه تنها قابل مقایسه است، ۳۵-۱۰۰ درصد، بلکه در چند پلیمر در فشارهای اولیه سهم این مولکول‌ها ۱/۵ برابر سهم مولکولهای جذب شده در حالت هنری است (مثل تراوایی  $\text{CO}_2$  در  $5\text{NDA}-1, 6\text{FDA}-1$  یا پلی‌ایمید).

همان‌طور که مشخص است سهم این مولکولها با افزایش فشار سریعاً از بین می‌رود و این مورد برای  $\text{CO}_2$  بسیار مشهود است. ولی برای  $\text{CH}_4$  با توجه به اهمیت جمله لانگمیر در مدل جذب آن مولکولهای متتحرک حالت لانگمیر تا فشارهای  $10-15 \text{ atm}$  سهم قابل ملاحظه‌ای دارند. تفاوت دیگری که در سهم این مولکولها برای  $\text{CO}_2$  و  $\text{CH}_4$  دیده می‌شود، این است که اختلاف بین نسبت این مولکولها به کل مولکولهای متتحرک با نسبت این مولکولها به مولکولهای حالت هنری برای  $\text{CO}_2$  در فشارهای اولیه بسیار بالاست. مثلاً در مورد  $(\text{CO}_2 \text{ in } 6\text{DDA}, 1, 5\text{NDA})$  به بیش از ۱ می‌رسد. در پلی‌ایمید حدود ۸/۰ ولی برای  $\text{CH}_4$  این تفاوت اولیه حدود ۰/۱۵-۰/۱۰ بیشتر نیست. نکته جالب این است که برای  $\text{CO}_2$  با وجود اختلاف اولیه زیاد بین این دونسبت، این اختلاف با افزایش فشار به سرعت کاهش یافته و در فشارهای نه چندان زیاد نمودار بر هم منطبق می‌شوند. ولی بر عکس در مورد  $\text{CH}_4$  همان اختلاف کوچک تا فشارهای

$D_D$ : ضریب نفوذ در حالت هنری	<b>نشانه‌ها</b>
$D_H$ : ضریب نفوذ در حالت لانگمیر	C: غلظت کل
$C_{\text{mobile}}$ : غلظت کل مولکول‌های متحرک (نفوذی)	$C_D$ : غلظت حاصل از حل معمول (حالت جذب هنری)
$C_{\text{Hmobile}}$ : غلظت مولکول‌های (جذب) متحرک حالت لانگمیر	$C_H$ : غلظت حاصل از پرشدن حفره‌ها (حالت جذب لانگمیر)
$f$ : فوگاسیته	$K_D$ : ثابت حلالیت قانون هنری
$T_c$ : دمای بحرانی	$C'_H$ : ثابت سیرشدگی حفره
$Z$ : طول نفوذ	b: ثابت میل ترکیبی مولکولهای گاز برای جذب شدن در حفره‌ها
$F_C$ : نسبت جذب متحرک (موثر در نفوذ) به کل جذب در حالت لانگمیر	J: شار اجزا
$F_D$ : نسبت ضریب نفوذ حالت لانگمیر به حالت هنری	P: ضریب تراوش
	p: فشار

## مراجع

1. Muler M., *Basic Principle of Membrane Technology*, Center of Membrane Science and Technology, University of Twents, 2<sup>nd</sup> ed., Chap.1, 1997.
2. Marchese J., Garis E., Anson M., Ochoa N.A. and Pagliero C., Gas Sorption, Permeation and Separation of ABS Copolymer Membrane, *J. Membrane Sci.*, **221**, 185–197, 2003.
3. Thundyil M.J., Jois Y.H. and Koros W.K., Effect of Permeate Pressure on the Mixed Gas Permeation of Carbon Dioxide and Methane in a Glassy Polyimide, *J. Membrane Sci.*, **152**, 29–40, 1999.
4. Bitter J.G.A., *Transport Mechanism in Membrane Separation Process*, Plenum, Chap.2, New York , 1991.
5. Vab den Berg G.B. and Smolders C.A., Diffusional Phenomena in Membrane Separation Processes, *J. Membrane Sci.*, **73**, 103-118, 1992.
6. Graham A.T., On the Law of the Diffusion of Gases, *Phil. Mag.*, **2**, 175-190, 1883.
7. Koros W.J. and Hellums M.W., Transport Properties, *Encyclopedia of Polymer Science*, 2<sup>nd</sup> ed., Wiley, New York, 1989.
8. Stannett V., The Transport of Gases in Synthetic Polymeric Membranes- An Historic Perspective, *J. Membrane Sci.*, **3**, 97-115, 1978.
9. Dhingra S.S., *Mixed Gas Transport Study through Polymeric Membranes: A Novel Technique*, PhD Thesis, Faculty of Virginia Polytechnic Institut and State University, 1997.
10. Mahdavian M. and Ghoreshi S.A.A., Modeling of Multi- component Gases Permeation through Glassy Polymer Membranes by the Maxwell-Stefan Formulation, *Iran. Polym. J.*, **6**, 359-368, 2006.
11. Ghoreyshi A.A., Farhadpour F.A. and Soltanieh M., A General Model for Multicomponent Trnasport in Nonporous Membranes Based on Maxwell-Stefan Formulation, *Chem. Eng. Commun.*, **191**, 460-499, 2004.
12. Ghoreyshi S.A.A., Farhadpour F.A. and Soltanieh M., Multicomponent Transport across Nonporous Polymeric Membrane, *Desalination*, **144**, 93-101, 2002.
13. Ghoreyshi S.A.A., Farhadpour F.A., Soltanieh M. and Abdelghani M., Transport of Small Polar Molecules across Nonporous Polymeric Membranes, II: Shortcomings of Phenomenological Models of Membrane Transport, *J. Membrane Sci.*, **211**, 215-234, 2003.
14. Robeson L.M., Correlation of Separation Factor versus Permeability for Polymeric Membranes, *J. Membrane Sci.*, **62**, 165-185, 1991.
15. Cain E.J., Wen W.Y., Jones A.A., Inglefield P.T., Cauley B.J. and Bendler J.T., A Dual Mode Interpretation of Spin Relaxation for  $^{13}\text{CO}_2$  Sorbed in Polycarbonate, *J. Polym. Sci., Part B: Polym. Phys.*, **29**, 1009-1020, 1991.
16. Paul D.R. and Koros W.J., Effect of Partial Immobilizing Sorption on Permeability and the